

# Het principe van Reissner, toegepast op het probleem van torsie met welgingsverhinderend

**Citation for published version (APA):**

Janssen, J. D. (1965). *Het principe van Reissner, toegepast op het probleem van torsie met welgingsverhinderend*. (DCT rapporten; Vol. 1965.007). Technische Hogeschool Eindhoven.

**Document status and date:**

Gepubliceerd: 01/01/1965

**Document Version:**

Uitgevers PDF, ook bekend als Version of Record

**Please check the document version of this publication:**

- A submitted manuscript is the version of the article upon submission and before peer-review. There can be important differences between the submitted version and the official published version of record. People interested in the research are advised to contact the author for the final version of the publication, or visit the DOI to the publisher's website.
- The final author version and the galley proof are versions of the publication after peer review.
- The final published version features the final layout of the paper including the volume, issue and page numbers.

[Link to publication](#)

**General rights**

Copyright and moral rights for the publications made accessible in the public portal are retained by the authors and/or other copyright owners and it is a condition of accessing publications that users recognise and abide by the legal requirements associated with these rights.

- Users may download and print one copy of any publication from the public portal for the purpose of private study or research.
- You may not further distribute the material or use it for any profit-making activity or commercial gain
- You may freely distribute the URL identifying the publication in the public portal.

If the publication is distributed under the terms of Article 25fa of the Dutch Copyright Act, indicated by the "Taverne" license above, please follow below link for the End User Agreement:

[www.tue.nl/taverne](http://www.tue.nl/taverne)

**Take down policy**

If you believe that this document breaches copyright please contact us at:

[openaccess@tue.nl](mailto:openaccess@tue.nl)

providing details and we will investigate your claim.

Het principe van Reissner, toegepast op het probleem  
van torsie met verloopvermindering.

D. Samenvatting

Het principe van Reissner levert, wanneer alleen veronderstellingen gemaakt <sup>worden</sup> over de verormingen in dit geval dezelfde resultaten als met behulp van het principe van minimum potentiële energie gevonden zijn. Hiervan klevan de bekende modellen.

Veronderstellen we daarom dat de dwarsdoorsnede als geheel draait om een lood  $\mathcal{J}$  en dat de axiale normaalspanningen voldoende zijn met de verloopfunctie volgens de Saint-Venant ( $\sigma_z = \beta' \varphi$ ), dan wordt een sluitende torsietheorie gevonden. De mogelijkheid is een oplossing te vinden van:

$$\Delta \varphi = \varphi \quad \text{met} \quad \frac{d\varphi}{dn} = 0 \quad \text{op de randen.}$$

Voor een dunwandige koker is de oplossing te vinden in een bruikbare vorm.

Als verondersteld wordt  $\sigma_z = \mathcal{J}' \varphi$ , ontstaat een vijfde orde d.v. in  $\mathcal{J}$  met 6 randvoorwaarden. Er is dan in het algemeen geen oplossing mogelijk.

1. Het variatieprincipe van Reissner; hypothese

Definieren:

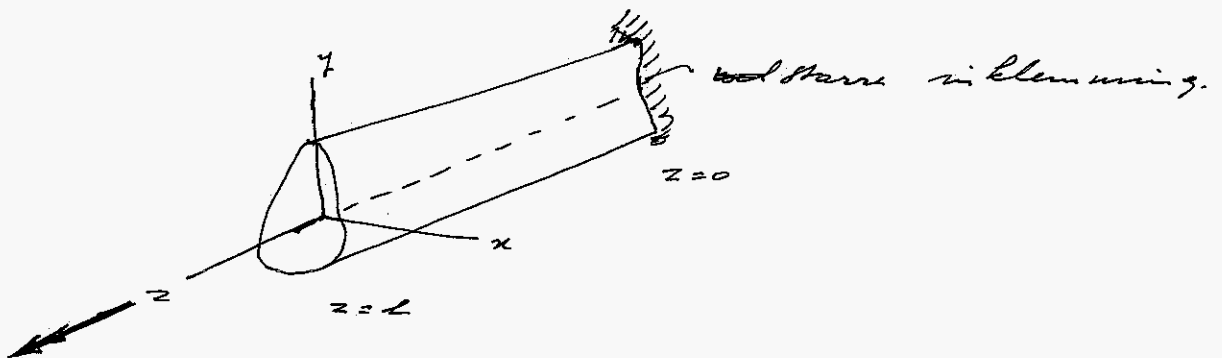
$$R = \iiint \left\{ \tau^{ij} u_{i,j} - W(\tau^{ij}) \right\} dV - \iint_{S_1} \bar{\tau}^{ij} n_i u_j dS +$$

$$- \iint_{S_2} \tau^{ij} n_i (u_j - \bar{u}_j) dS$$

- Met  $\tau^{ij}$  : componenten spanningstensor
- $u_i$  : " verplaatsingsvectoren
- $W(\tau^{ij})$  : vormveranderingenergie, uitgedrukt in de spanningen
- $S_1$  : deel van buiten opp., waar de spanningen voorgeschreven zijn :  $\bar{\tau}^{ij}$
- $S_2$  : deel van opp., waar verplaatsingen voorgeschreven zijn :  $\bar{u}_i$

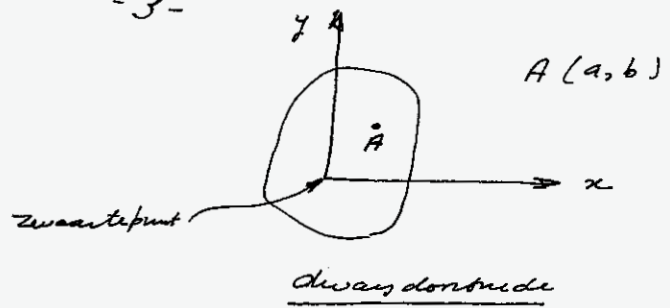
Het principe van Reissner zegt dat

$\delta R = 0$  om onafhankelijke variaties van  $\tau^{ij}$  en  $u_i$  (zie rapport WE-65/ ).



Hypothese:

$$\sigma_x = \sigma_y = \tau_{xy} = 0$$



Bij  $z=0$  wordt de melking volkomen rechtvaardigd.  
 De dwarsdoorsnede van de balk is willekeurig.  
 Van  $z=l$  zijn spanningen  $\bar{\tau}_{xz}$  en  $\bar{\tau}_{yz}$  verspreiden waaraan geldt

$$\iint (\bar{\tau}_{zy} x - \bar{\tau}_{zx} y) dx dy = \pi_w$$

$$\iint \bar{\tau}_{zy} dx dy = 0 \quad ; \quad \iint \bar{\tau}_{zx} dx dy = 0.$$

Wanneer de dwarsdoorsnede symmetrisch is ten opzichte van de x- en y-as, lukt een zinnige veronderstelling van het verplaatsingsveld:

$$u = -\mathcal{J}y$$

$$v = \mathcal{J}x$$

$$\mathcal{J} = \mathcal{J}(z).$$

(zie hiervan rapport WE-65/4).

$$w = w(x, y, z).$$

De grootheid  $R$  wordt in dit geval

$$R = \iiint \left[ \sigma_z \frac{\partial w}{\partial z} + \tau_{zx} \left( -\mathcal{J}'y + \frac{\partial w}{\partial x} \right) + \tau_{zy} \left( \mathcal{J}'x + \frac{\partial w}{\partial y} \right) + \right. \\ \left. - \frac{\sigma_z^2}{2E} - \frac{\tau_{zx}^2 + \tau_{zy}^2}{2\mathcal{J}} \right] dx dy dz - \mathcal{J}(l) \pi_w +$$

$$+ \iint_{z=0} \left( -\mathcal{J}'y + \frac{\partial w}{\partial x} \right) \mu_{z=0} + \left( \mathcal{J}'x + \frac{\partial w}{\partial y} \right) \frac{\nu}{z=0} +$$

$$+ \mathcal{J}'(0) \iint (-y \bar{\tau}_{zx} + x \bar{\tau}_{zy}) dy dx + \iint \sigma_z(x, y, 0) \cdot w(x, y, 0) dx dy$$

2. Dubbelsymmetrische doorsnede;  $w = \int' (z) \varphi(x, y)$

In dit geval geldt:

$$R = \iiint \left[ \sigma_z \int'' \varphi + \tau_{zx} \int' \left( -y + \frac{\partial \varphi}{\partial x} \right) + \tau_{zy} \int' \left( x + \frac{\partial \varphi}{\partial y} \right) - \frac{\sigma_z^2}{2E} - \frac{\tau_{zx}^2 + \tau_{zy}^2}{2G} \right] dx dy dz - \int'(l) M_w + \int'(0) \iint (-y \tau_{zx} + x \tau_{zy}) dx dy + \int'(0) \iint \varphi \sigma_z(x, y, 0) dx dy$$

Mit  $\delta R = 0$  volgt:

$$\begin{array}{l} \delta \sigma_z : \quad \sigma_z = E \varphi \int'' \\ \delta \tau_{zx} : \quad \tau_{zx} = G \int' \left( -y + \frac{\partial \varphi}{\partial x} \right) \\ \delta \tau_{zy} : \quad \tau_{zy} = G \int' \left( x + \frac{\partial \varphi}{\partial y} \right) \end{array} \left. \vphantom{\begin{array}{l} \delta \sigma_z \\ \delta \tau_{zx} \\ \delta \tau_{zy} \end{array}} \right\} \text{wet van Hooke}$$

met randcondities  $\int(0) = 0$   
 $\int'(0) = 0$

Bij het gekozen verformingsveld volgt met behulp van het principe van Reissner voor het verband tussen spanningen en verformingen de exacte wet van Hooke.

$$\delta \int : \iint \left[ -\varphi \frac{d\sigma_z}{dz} + \tau_{zx} \left( -y + \frac{\partial \varphi}{\partial x} \right) + \tau_{zy} \left( x + \frac{\partial \varphi}{\partial y} \right) \right] dx dy = M_w$$

Invullen van de wet van Hooke levert een differentiaalvergelijking in  $\int$  die volkomen overeenkomt met (2.1) uit WE-65/4 (pag. 6) als voor  $\varphi(x, y)$  de welbepaalde functie van de Saint-Venant wordt gekozen.

Hiervoor is aangenomen dat de geconstateerde mogelijkheids door gebruik van het principe van Reissner niet worden opgelost.

Het gekozen verformingsveld staat geen beschrijving leveren van de werkelijkheid.

3. Dubbelasymmetrische doorsnede;  $w = \beta' \varphi(x, y)$

In dit geval geldt:

$$R = \iiint \left[ \sigma_z \beta'' \varphi + \tau_{zx} \left( -\beta' y + \beta' \frac{\partial \varphi}{\partial x} \right) + \tau_{zy} \left( \beta' x + \beta' \frac{\partial \varphi}{\partial y} \right) + \right. \\ \left. - \frac{\sigma_z^2}{2E} - \frac{\tau_{zx}^2 + \tau_{zy}^2}{2G} \right] dx dy dz - \int (l) M_w + \\ + \int (l) \iint (-y \tau_{zx} + x \tau_{zy}) dx dy + \beta' (l) \iint \varphi \sigma_z(x, y, 0) dx dy$$

Variatie van de spanningen levert:

$$\sigma_z = E \beta'' \varphi$$

$$\tau_{zx} = G \left( -\beta' y + \beta' \frac{\partial \varphi}{\partial x} \right)$$

$$\tau_{zy} = G \left( \beta' x + \beta' \frac{\partial \varphi}{\partial y} \right)$$

Dit is weer eenvoudig de wet van Hooke.

De resultaten uit dit variatieprincipe stemmen overeen met de resultaten uit het principe van minimum potentiële energie (zie WE-65/4 pag. 9 e.v.)

De conclusies die in dit rapport getrokken zijn, gelden dus ook hier.

De berekeningsoplossing lijkt eenvoudiger als inderdaad gebeurt wordt met een dubbelasymmetrische dwarsdoorsnede. Voor een willekeurige doorsnede is de resultante van de schuifspanningsverdeling in de dwarsdoorsnede niet alleen een wrijvingsmoment. Door een geschikte keuze van het Assi-centrum is te bereiken dat de wrijvingsmomenten nul zijn; te resulteert dan echter een dwarskracht.

4. Willekeurige dwarsdoorsnede;  $\sigma_z = \sigma_0(z) \varphi(x, y)$

We kiezen  $\varphi(x, y)$  de meltingsfunctie van de Saint-Venant voor rotatie om het punt  $A(a, b)$ . Dit punt  $(a, b)$  is zo gekozen dat:

$$\iint \sigma_z x \, dx \, dy = \sigma_0(z) \iint \varphi x \, dx \, dy = 0$$

$$\iint \sigma_z y \, dx \, dy = \sigma_0(z) \iint \varphi y \, dx \, dy = 0$$

Verder is  $\varphi(x, y)$  nog zo befaald, dat

$$\iint \varphi_z \, dx \, dy = \sigma_0(z) \iint \varphi \, dx \, dy = 0.$$

Kiezen we nu een willekeurig dwarsdoorsnede:

$$u = -\int (y-b)$$

$$v = \int (x-a)$$

dan geldt:

$$R = \iiint \left\{ \sigma_0(z) \varphi \frac{\partial w}{\partial z} + \left[ -\int' (y-b) + \frac{\partial w}{\partial x} \right] \tau_{xz} + \right. \\ \left. + \left[ \int' (x-a) + \frac{\partial w}{\partial y} \right] \tau_{yz} - \frac{\sigma_0^2 \varphi^2}{2E} - \frac{\tau_{xz}^2 + \tau_{yz}^2}{2\gamma} \right\} dx \, dy \, dz + \\ -\int' (z) \tau + \int' (0) \iint \left[ (-y \frac{\partial}{\partial x} + x \frac{\partial}{\partial y}) \right] dx \, dy + \sigma_0(0) \iint \varphi w(x, y, 0) dx \, dy$$

gevarieerd kunnen worden:  $\sigma_0(z), \tau_{xz}, \tau_{yz}, \int', w$

$$\delta \sigma_0(z) : \iint \left[ \varphi \frac{\partial w}{\partial z} - \frac{\varphi^2 \sigma_0(z)}{E} \right] dx \, dy = 0 \quad (4.1)$$

$$\delta \tau_{xz} : \tau_{xz} = \int' \left[ -\int' (y-b) + \frac{\partial w}{\partial x} \right] \quad (4.2)$$

$$\delta \tau_{yz} : \tau_{yz} = \int' \left[ \int' (x-a) + \frac{\partial w}{\partial y} \right] \quad (4.3)$$

$$\delta \int' : \frac{\partial}{\partial z} \iint \left[ -\tau_{xz} (y-b) + \tau_{yz} (x-a) \right] dx \, dy = 0 \quad (4.4)$$

$$\delta w : \quad \varphi \sigma_0' + \frac{\partial \tau_{xz}}{\partial x} + \frac{\partial \tau_{yz}}{\partial y} = 0 \quad (4.5)$$

Als randcondities vinden we:

$$z=0 : \quad \iint \varphi w(x, y, 0) dx dy = 0 \quad (4.6)$$

$$g(0) = 0 \quad (4.7)$$

$$x=l : \quad K = \iint [-\tau_{xz}(y-b) + \tau_{yz}(x-a)] dx dy \quad (4.8)$$

$$\iint \delta w (\varphi \sigma_0(z) n_z + \tau_{xz} n_x + \tau_{yz} n_y) dS +$$

$$\underbrace{g_0(0)}_{(z=0)} \iint \delta w \varphi dx dy = 0$$

Deze laatste voorwaarde omgewerkt, levert:

Van het zijdelings oppervlak:

$$\tau_{xz} n_x + \tau_{yz} n_y = 0 \quad (4.9)$$

en

$$\text{van } z=l \quad \sigma_0(l) = 0 \quad (4.10)$$

Substitueer (4.2) en (4.3) in (4.5)

$$\varphi \sigma_0' + g \left[ \frac{\partial^2 w}{\partial x^2} + \frac{\partial^2 w}{\partial y^2} \right] = 0 \quad (4.11)$$

Substitueer (4.2) en (4.3) in (4.9):

$$\left[ -g'(y-b) + \frac{\partial w}{\partial x} \right] n_x + \left[ g'(x-a) + \frac{\partial w}{\partial y} \right] n_y = 0$$

$$\text{of } \frac{\partial w}{\partial x} n_x + \frac{\partial w}{\partial y} n_y = g' \left[ (y-b) n_x + (x-a) n_y \right]$$

Met behulp van:  $n_x = \frac{dy}{ds}$

$$n_y = -\frac{dx}{ds}$$

geeft deze uitdrukking over in:

$$\frac{dw}{dn} = \mathcal{J}' \left[ (y-b) \frac{dy}{ds} + (x-a) \frac{dx}{ds} \right] = \mathcal{J}' \frac{d}{ds} \left[ \frac{1}{2} (x^2 + y^2) - by - ax \right]$$

of de contourlijn

$$\text{of } \frac{dw}{dn} = \mathcal{J}' \frac{d}{ds} \left( \frac{(x-a)^2 + (y-b)^2}{2} \right) \quad (4.12)$$

We stellen nu in (4.11) en (4.12):

$$w = - \frac{\sigma_0}{g} \psi + \mathcal{J}' \chi \quad (4.13)$$

Dan moet gelden:

$$\Delta \psi = \varphi \quad \text{en} \quad \Delta \chi = 0 \quad (4.14)$$

en of de randen:

$$\frac{d\psi}{dn} = 0 \quad \frac{d\chi}{dn} = + \frac{d}{ds} \left[ \frac{(x-a)^2 + (y-b)^2}{2} \right]$$

We zien dat de functie  $\chi$  aandreffde randvoorwaarden voldoet als de potentiaal van de Saint-Venant, bij draaien om het punt  $(a, b)$ .  
Hieruit volgt:

$$\chi = \varphi + C \quad C: \text{constante}$$

Substitueer nu (4.13) in (4.1), dan volgt daarmee:

$$\iint \left\{ \varphi \left[ - \frac{\sigma_0}{g} \psi + \mathcal{J}'' \chi \right] - \frac{\varphi^2 \sigma_0}{E} \right\} dx dy = 0$$

$$- \frac{\sigma_0}{g} \iint \varphi \psi dx dy + \mathcal{J}'' \iint \varphi \chi dx dy - \frac{\sigma_0}{E} \iint \varphi^2 dx dy = 0 \quad (4.15)$$

Hierin worden de oppervlakteintegralen bekend gevonden.

Die zweite Differentialgleichung in  $\sigma_0$  und  $\mathcal{J}$  wieder wie den (4.2) und (4.3) te substituieren in (4.4) um Nevolypus von  $w$  vgl. (4.13) te schreiben

$$\frac{\partial}{\partial z} \iint \left\{ -(y-b) \left[ -\mathcal{J}'(y-b) + \frac{\partial w}{\partial x} \right] + (x-a) \left[ \mathcal{J}'(x-a) + \frac{\partial w}{\partial y} \right] \right\} dx dy = 0$$

$$\frac{\partial w}{\partial x} = -\frac{\sigma_0'}{f} \frac{\partial \psi}{\partial x} + \mathcal{J}' \frac{\partial \chi}{\partial x}$$

$$\frac{\partial}{\partial z} \iint \left\{ -(y-b) \left[ -\mathcal{J}'(y-b) + \frac{\sigma_0'}{f} \frac{\partial \psi}{\partial x} + \mathcal{J}' \frac{\partial \chi}{\partial x} \right] + \right.$$

$$\left. + (x-a) \left[ \mathcal{J}'(x-a) + \frac{\sigma_0'}{f} \frac{\partial \psi}{\partial y} + \mathcal{J}' \frac{\partial \chi}{\partial y} \right] \right\} dx dy = 0$$

$$\mathcal{J}'' \iint \left\{ (y-b)^2 + (x-a)^2 - (y-b) \frac{\partial \chi}{\partial x} + (x-a) \frac{\partial \chi}{\partial y} \right\} dx dy +$$

$$-\frac{\sigma_0''}{f} \iint \left\{ -(y-b) \frac{\partial \psi}{\partial x} + (x-a) \frac{\partial \psi}{\partial y} \right\} dx dy = 0$$

Man z integrieren liefert:

$$\mathcal{J}' \iint \left\{ (x-a)^2 + (y-b)^2 + (x-a) \frac{\partial \chi}{\partial y} - (y-b) \frac{\partial \chi}{\partial x} \right\} dx dy +$$

$$-\frac{\sigma_0'}{f} \iint \left\{ (x-a) \frac{\partial \psi}{\partial y} - (y-b) \frac{\partial \psi}{\partial x} \right\} dx dy = \text{Constant.}$$

Die Randbedingung (4.8) umgesetzt liefert von ~~und~~ diese konstante  $\frac{M_w}{f}$ .

Dus

$$\mathcal{J}'' \iint \left\{ (x-a)^2 + (y-b)^2 + (x-a) \frac{\partial \chi}{\partial y} - (y-b) \frac{\partial \chi}{\partial x} \right\} dx dy +$$

$$-\frac{\sigma_0'}{f} \iint \left\{ (x-a) \frac{\partial \psi}{\partial y} - (y-b) \frac{\partial \psi}{\partial x} \right\} dx dy = \frac{M_w}{f} \quad (4.16)$$

We willen de vergelijkingen (4.15) en (4.16) compacter schrijven.

Op de eerste plaats hebben we bewezen dat

$$\chi = \varphi + c$$

We vullen in:

$$\Delta \varphi = \iint \varphi^2 dx dy$$

$$\Delta_d = \iint \left\{ (x-a)^2 + (y-b)^2 + (x-a) \frac{\partial \varphi}{\partial x} - (y-b) \frac{\partial \varphi}{\partial y} \right\} dx dy$$

(transiëntvrijheid volgens de Saint-Venant)

$$A = \iint \varphi \varphi dx dy$$

Beiden komt nog van de integraal:

$$\iint \left\{ (x-a) \frac{\partial \varphi}{\partial x} - (y-b) \frac{\partial \varphi}{\partial y} \right\} dx dy =$$

$$\oint \varphi \left[ (x-a) n_x - (y-b) n_y \right] ds =$$

$$- \oint \varphi \frac{d}{ds} \frac{(x-a)^2 + (y-b)^2}{2} ds = - \oint \varphi \frac{\partial \varphi}{\partial n} ds$$

met (4.14)

Beiden geldt volgens Green:

$$\iint (\varphi \Delta \varphi - \varphi \Delta \varphi) dx dy = \oint \left( \varphi \frac{d\varphi}{dn} - \varphi \frac{d\varphi}{dn} \right) ds$$

$$\left( \text{Bewijs: } \varphi \Delta \varphi - \varphi \Delta \varphi = \text{div } \underline{a} \quad \text{met } \underline{a} = \varphi \frac{\partial \varphi}{\partial x} - \varphi \frac{\partial \varphi}{\partial x}, \varphi \frac{\partial \varphi}{\partial y} - \varphi \frac{\partial \varphi}{\partial y} \right)$$

En dit geeft:  $\Delta \varphi = 0$   $\partial \varphi = \varphi$   
 $\frac{d\varphi}{dn} = 0$

Dies volgens Green:

$$-\iint \varphi^2 dx dy = \oint \varphi \frac{d\varphi}{dn} ds = - \mathcal{I}_\varphi$$

Hierna is bewezen:

$$\iint \left\{ (x-a) \frac{\partial \varphi}{\partial y} - (y-b) \frac{\partial \varphi}{\partial x} \right\} dx dy = \mathcal{I}_\varphi$$

De differentiaalvergelijkingen (4.15) en (4.16) leiden tot:

$$\boxed{-\frac{A}{\eta} \sigma_0'' + \mathcal{I}_\varphi^* \mathcal{I}'' - \frac{\mathcal{I}_\varphi}{E} \sigma_0 = 0} \quad (4.17)$$

$$\boxed{\eta \mathcal{I}_\varphi \mathcal{I}' + \mathcal{I}_\varphi \sigma_0' = M_w} \quad (4.18)$$

Randvoorwaarden:  $\mathcal{I}(0) = 0$   
 $\sigma_0(l) = 0$

$$\begin{aligned} z=0 &: \iint \varphi \omega(x, y, 0) dx dy = 0 \\ &= \iint \varphi \left[ -\frac{\sigma_0'(0)}{\eta} \varphi + \mathcal{I}'(0) \chi \right] dx dy = \\ &= -\frac{\sigma_0'(0)}{\eta} \iint \varphi^2 dx dy + \mathcal{I}'(0) \iint \varphi \chi dx dy \\ 0 &= -\frac{A}{\eta} \sigma_0'(0) + \mathcal{I}_\varphi^* \mathcal{I}'(0). \end{aligned}$$

Hiervan is  $\mathcal{I}_\varphi^* = \iint \varphi \chi dx dy = \iint \varphi(\varphi + c) dx dy =$   
 $\mathcal{I}_\varphi + c \iint \varphi dx dy = \mathcal{I}_\varphi.$

Het \* zullen we dus nu weg mogen laten.

Mit (4.17) en (4.18) elimineren we  $\sigma_0$ .

Mit (4.18) volgt:

$$\eta \mathcal{I}_\varphi \mathcal{I}'' = \mathcal{I}_\varphi \sigma_0''$$

Mit (4.17) volgt dan:

$$\left[ -\frac{A J_d}{J_\varphi} + J_\varphi \right] J'' = \frac{J_\varphi}{E} \sigma_0$$

$$\underline{\sigma_0 = E \left[ -\frac{A J_d}{J_\varphi^2} + 1 \right] J''} \quad (4.19)$$

Mit (4.18) volgt hierna:

$$\underline{g J_d J' - E \left[ J_\varphi - \frac{A J_d}{J_\varphi} \right] J'' = M_w} \quad (4.20)$$

Mit randcondities:

$$J(0) = 0$$

$$J''(l) = 0$$

(4.21)

$$J'(0) = \frac{-A}{-A J_d + J_\varphi^2} \cdot \frac{M_w}{g}$$

De differentiaalvergelijking in  $J$  is weer van hetzelfde karakter als bij voorgaande veronderstellingen.

### Discussie

1. Voor  $z=0$ , waar de meloring volledig vrijheid wordt is in deze theorie niet op zijn plaats de verplaatsing in  $z$ -richting met. Hiervoor zou immers moeten gelden:  $\sigma_0'(0) = 0$ ,  $J'(0) = 0$ . Deze eisen zijn in strijd met (4.21).
2. De uit deze theorie berekende normaalspanningen hebben geen resultaat, vanwege de geschikte keuze van het punt A.

3. De schuifspanningen hebben als resultaat geen dwarskracht.

Antwoord:

$$\tau_{xz} = \rho g \left( -(y-b) + \frac{\partial \psi}{\partial x} \right) - \sigma_0' \frac{\partial \psi}{\partial x}$$

$$D_x = \iint \tau_{xz} \, dx \, dy = -\sigma_0' \iint \frac{\partial \psi}{\partial x} \, dx \, dy =$$

$$(-\sigma_0' \oint \psi \, n_x \, ds)$$

Evenzo:

$$D_y = (-\sigma_0' \oint \psi \, n_y \, ds) = -\sigma_0' \iint \frac{\partial \psi}{\partial y} \, dx \, dy$$

Nu geldt:

$$\begin{aligned} \frac{\partial \psi}{\partial x} &= \frac{\partial}{\partial x} \left( x \frac{\partial \psi}{\partial x} \right) + \frac{\partial}{\partial y} \left( x \frac{\partial \psi}{\partial y} \right) - x \left( \frac{\partial^2 \psi}{\partial x^2} + \frac{\partial^2 \psi}{\partial y^2} \right) \\ &= \frac{\partial}{\partial x} \left( x \frac{\partial \psi}{\partial x} \right) + \frac{\partial}{\partial y} \left( x \frac{\partial \psi}{\partial y} \right) - x \Delta \psi \end{aligned}$$

$$\text{Want } \Delta \psi = \varphi.$$

Hiermee geldt:

$$D_x = +\sigma_0' \iint x \varphi \, dx \, dy - \sigma_0' \oint x \frac{d\psi}{dn} \, ds$$

Door de keuze van A is er voor gezorgd dat

$$\iint x \varphi \, dx \, dy = 0$$

en verder is de randvoorwaarde voor  $\psi$

$$\frac{d\psi}{dn} = 0 \text{ op Contour.}$$

Dus

$$D_x = 0$$

Evenzo is te bewijzen dat

$$D_y = 0$$

4. Behalve de melningsfunctie van de Saint-Venant:  $\varphi$  moet ook de functie  $\psi$  bepaald worden, die voldoet aan:

$$\Delta \psi = \varphi \quad \text{en} \quad \frac{d\psi}{dn} = 0 \quad \text{op de rand.}$$

In het algemeen zal dit niet mogelijk zijn (hipotensiaalvgl.). Voor een dunwandige  $q$ -sloten koker moet dit zijn niet te voeren.

5. Willekeurige dwarsdoorsnede;  $\sigma_z = E \vartheta'' \varphi$

De meloingsfunctie volgens de Saint-Venant  $\varphi$  is betrokken op het punt A, zodat de normaalspanningen als resultante geen buigpunt moment en geen dwarsnormaalkracht hebben

Men gelte:

$$R = \iiint \left\{ E \vartheta'' \varphi \frac{\partial w}{\partial z} + \left[ -\vartheta'(y-b) + \frac{\partial w}{\partial x} \right] \tau_{xz} + \left[ \vartheta'(x-a) + \frac{\partial w}{\partial y} \right] \tau_{yz} - \frac{E (\vartheta''')^2 \varphi^2}{2} - \frac{\tau_{xz}^2 + \tau_{yz}^2}{2\vartheta} \right\} dx dy dz - \vartheta(l) M + \vartheta(0) \iiint \left\{ (-y+b) \tau_{zx} + (x-a) \tau_{zy} \right\} dx dy + E \vartheta''(0) \iint \varphi w(x,y,0) dx dy$$

Gevariëerd kunnen worden:  $\tau_{xz}$ ,  $\tau_{yz}$ ,  $\vartheta$  en  $w$ .

$$\delta \tau_{xz} : \quad \tau_{xz} = \vartheta \left[ -\vartheta'(y-b) + \frac{\partial w}{\partial x} \right] \quad (5.1)$$

$$\delta \tau_{yz} : \quad \tau_{yz} = \vartheta \left[ \vartheta'(x-a) + \frac{\partial w}{\partial y} \right] \quad (5.2)$$

$$\delta \vartheta : \quad \frac{\partial^2}{\partial z^2} \iint E \varphi \frac{\partial w}{\partial z} dx dy - \frac{\partial}{\partial z} \iint \left[ -\tau_{xz}(y-b) + \tau_{yz}(x-a) \right] dx dy + E \vartheta'' \iint \varphi^2 dx dy = 0 \quad (5.3)$$

$$\delta w : \quad E \varphi \vartheta''' + \frac{\partial \tau_{xz}}{\partial x} + \frac{\partial \tau_{yz}}{\partial y} = 0 \quad (5.4)$$

Met randcondities:

$$\vartheta(0) = 0 \quad (5.5)$$

$$z=l : \quad M = \iint \left[ -\tau_{xz}(y-b) + \tau_{yz}(x-a) \right] dx dy - E \iint \varphi \frac{\partial^2 w}{\partial z^2} dx dy + E \iint \varphi^2 \vartheta''' dx dy \quad (5.6)$$

$$z=0 : \quad \iint \varphi w(x,y,0) dx dy = 0 \quad (5.7)$$

$$z=0 : \quad \iint \varphi \frac{\partial^2 w}{\partial z^2} dx dy + \vartheta''(0) \iint \varphi^2 dx dy = 0 \quad (5.8)$$

$$\left. \begin{array}{l} z=0 \\ z=l \end{array} \right\} \iint \varphi \frac{\partial w}{\partial z} dx dy = g'' \iint \varphi^2 dx dy = 0 \quad (5.9)$$

$$z=l \quad g'' = 0 \quad (5.10)$$

$$\epsilon_{xz} n_x + \epsilon_{yz} n_y = 0 \quad \text{an Contour} \quad (5.11)$$

Substituiere (5.1) in (5.2) in (5.4)

$$E \varphi g''' + g \left[ \frac{\partial^2 w}{\partial x^2} + \frac{\partial^2 w}{\partial y^2} \right] = 0 \quad (5.12)$$

(Substituiere (5.1) in (5.2) in (5.3):

$$0 = \frac{\partial^2}{\partial z^2} \iint E \varphi \frac{\partial w}{\partial z} dx dy - \frac{\partial}{\partial z} \left\{ g g' \left[ \frac{\partial w}{\partial x} (y-b) + \frac{\partial w}{\partial y} (x-a) \right] \right\} \quad (5.13)$$

Mit (5.11) folgt:

$$\frac{dw}{dn} = g' \left[ (y-b) n_x - (x-a) n_y \right] \quad (5.14)$$

Ober in:

$$w = - \frac{E g'''}{g} \varphi + g' \chi \quad (5.15)$$

Mit (5.12) folgt dann:

$$\left\| \begin{array}{ll} \Delta \psi = \varphi & \Delta \chi = 0 \\ \frac{d\psi}{dn} = 0 & \frac{d\chi}{dn} = (y-b) n_x - (x-a) n_y \end{array} \right. \quad (5.16)$$

Hiermit folgt  $\chi = \varphi$

Voor de spanningen geldt nu:

$$\tau_{xz} = \rho g \vartheta' \left[ -(y-b) + \frac{\partial \chi}{\partial x} \right] - E \vartheta''' \frac{\partial \psi}{\partial x} \quad (5.17)$$

$$\tau_{yz} = \rho g \vartheta' \left[ (x-a) + \frac{\partial \chi}{\partial y} \right] - E \vartheta''' \frac{\partial \psi}{\partial y}$$

Diff. 5.3 kan eenmaal naar  $z$  geïntegreerd worden met gebruikmaking van randconditie (5.6).  
We vinden zo:

$$-\iint E \varphi \frac{\partial^2 w}{\partial z^2} dx dy + \iint [-\tau_{xz}(y-b) + \tau_{yz}(x-a)] dx dy + \iint E \vartheta''' \varphi^2 dx dy = M \quad (5.18)$$

Opmerking: In het algemeen is  $M$  dus niet zonder meer de resultante der schuifspanningen!

In (5.18) substitueren we (5.17) in (5.15).  
We vormen de volgende afleidingen in.

$$\iint \varphi^2 dx dy = J_\varphi$$

$$\iint \left[ (x-a)^2 + (y-b)^2 + (x-a) \frac{\partial \chi}{\partial y} + (y-b) \frac{\partial \chi}{\partial x} \right] dx dy = J_d$$

$$\iint \varphi \chi dx dy = J_\varphi$$

$$\iint \varphi \psi dx dy = A$$

$$\iint \left[ (x-a) \frac{\partial \psi}{\partial y} - (y-b) \frac{\partial \psi}{\partial x} \right] dx dy = J_\varphi$$

(zie pag. 11).

(5.16) gaat dan over in:

$$\frac{E^2 A}{\rho} \vartheta^{\text{IV}} - E J_\varphi \vartheta'''' + \rho J_d \vartheta' - E J_\varphi \vartheta'''' + E J_\varphi \vartheta'''' = M$$

Dus:

$$\frac{E^2 A}{g} \mathcal{J}^{\text{IV}} - E \mathcal{J}_\varphi \mathcal{J}^{\text{III}} + g \mathcal{J}_d \mathcal{J}' = \mathcal{M} \quad (5.19)$$


---

Randcondities:

$$\mathcal{J}(0) = 0$$

$$\mathcal{J}''(l) = 0$$

$$z=0 : \iint \varphi \omega(x, y, 0) dx dy = 0 \Rightarrow -\frac{E A}{g} \mathcal{J}^{\text{III}} + \mathcal{J}_\varphi \mathcal{J}' = 0$$

$$z=0 : \iint \varphi \frac{\partial^2 w}{\partial z^2} dx dy - \mathcal{J}^{\text{III}} \iint \varphi^2 dx dy = 0 \Rightarrow$$

$$-\frac{E A}{g} \mathcal{J}^{\text{IV}} = 0.$$

$$z=l \left\{ \iint \varphi \frac{\partial w}{\partial z} dx dy - \mathcal{J}^{\text{II}} \iint \varphi^2 dx dy = 0 \Rightarrow$$

$$-\frac{E A}{g} \mathcal{J}^{\text{IV}} = 0.$$

We merken op dat van bovenstaande 5°orde d.v. 6 randvoorwaarden vorhanden zijn. In het algemeen zal de oplossing van dit systeem dus niet bestaan, tenzij afhankelijkheid in de randcondities is aan te tonen. We zullen hier niet verder op ingaan.

De resultante van de schuifspanningen - wat het wrijvend moment betreft - komt niet overeen met formule (5.19). Dit is wel het geval als  $A=0$ . Dan merkt men bovendien het feit dat er meer randvoorwaarden zijn dan door de differentiaalvergelijking geeist wordt.

De schuifspanningen hebben als resultante geen dwarskracht.

6. Willekeurige dwarsdoorsnede;  $w = w(x, y, z)$ ;  $\sigma_z = \sigma_z(x, y, z)$

In dit geval geldt:

$$R = \iiint \left\{ \sigma_z \frac{\partial w}{\partial z} + \left[ -\mathcal{J}'(y-b) + \frac{\partial w}{\partial x} \right] \tau_{xz} + \left[ \mathcal{J}'(x-a) + \frac{\partial w}{\partial y} \right] \tau_{yz} + \right. \\ \left. - \frac{\mu}{2\epsilon} \sigma_z^2 - \frac{\tau_{xz}^2 + \tau_{yz}^2}{2\mathcal{J}} \right\} dx dy dz - \mathcal{J}(l) \mu + \\ + \mathcal{J}(0) \iint \left\{ -(y-b) \tau_{xz} + (x-a) \tau_{yz} \right\} dx dy + \iint \sigma_z(x, y, 0) w(x, y, 0) dx dy$$

Quaivering moet worden:  $\sigma_z, \tau_{xz}, \tau_{yz}, \mathcal{J}$  en  $w$ .

$$\sigma_z = E \frac{\partial w}{\partial z} \quad (6.1)$$

$$\tau_{xz} = \mathcal{J} \left[ -\mathcal{J}'(y-b) + \frac{\partial w}{\partial x} \right] \quad (6.2)$$

$$\tau_{yz} = \mathcal{J} \left[ \mathcal{J}'(x-a) + \frac{\partial w}{\partial y} \right] \quad (6.3)$$

$$\frac{\partial}{\partial z} \iint \left\{ -\tau_{xz} (y-b) + \tau_{yz} (x-a) \right\} dx dy = 0 \quad (6.4)$$

$$\frac{\partial \tau_{xz}}{\partial x} + \frac{\partial \tau_{yz}}{\partial z} + \frac{\partial \sigma_z}{\partial z} = 0 \quad (6.5)$$

Randcondities:

$$w(x, y, 0) = 0 \quad (6.6)$$

$$\mathcal{J}(0) = 0 \quad (6.7)$$

$$\mu = \iint \left\{ -\tau_{xz} (y-b) + \tau_{yz} (x-a) \right\} dx dy \quad \text{voor } z=l \quad (6.8)$$

$$\tau_{xz} n_x + \tau_{yz} n_y = 0 \quad \text{op } C. \quad (6.9)$$

$$\sigma_z(x, y, l) = 0 \quad (6.10)$$

Substitueer (6.1) en (6.2) in (6.5):

$$E \frac{\partial^2 w}{\partial z^2} + \mathcal{J} \left( \frac{\partial^2 w}{\partial x^2} + \frac{\partial^2 w}{\partial y^2} \right) = 0$$

Met (6.9):  $\frac{dw}{dn} = \mathcal{J}'(y-b) n_x - \mathcal{J}'(x-a) n_y$

Stel  $w = f(z) \cdot g(x, y)$

$$E f'' g(x, y) + f g \left( \frac{\partial^2 g}{\partial x^2} + \frac{\partial^2 g}{\partial y^2} \right) = 0$$

$$f \frac{dg}{dn} = g' (y-b) n_x - g' (x-a) n_y \quad \text{op } C.$$

In principe is dit stelsel <sup>niet</sup> oplosbaar, omdat de randvoorwaarden voor  $g(x, y)$  afhankelijk van de  $z$ -coördinaat. De differentiaalvgl. in  $f$  en  $g$  is wel oplosbaar omdat het gedeelte dat afhankelijk van  $z$  te scheiden is van het deel dat afhankelijk van  $x$  en  $y$ .

We zouden ook kunnen stellen

$$w = g' \chi + f(z) g(x, y)$$

Dan is aan de randvoorwaarden te voldoen door:

$$\left. \begin{aligned} \frac{d\chi}{dn} &= (y-b) n_x - (x-a) n_y \\ \frac{dg}{dn} &= 0 \end{aligned} \right\} \text{ op } C$$

De differentiaalvergelijking leidt dan tot:

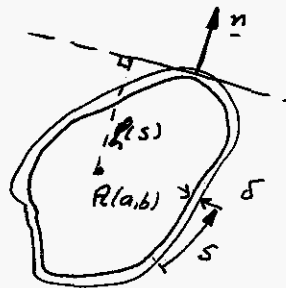
$$E g''' \chi + E f'' g + g g' \Delta \chi + g f \Delta g = 0.$$

Hierin is geen scheiding van de variabelen te verkrijgen.

We zullen allereerst trachten het voorgaande tot te passen op een eenvoudig voorbeeld. Daarna is het misschien mogelijk aan te geven op welke manier een algemene oplossing verkregen kan worden.

7. Balk met tweevoudig tamenkangquate dwarsdunwandige

dwarsdoorsnede.



Voor deze dwarsdoorsnede willen we de in hoofdstuk 4 behandelde theorie toepassen (benaderend).

Het punt A en het punt  $s=0$  zijn zo gekozen dat

$$\oint \varphi(s) \delta ds = 0$$

$$\oint \varphi(s) x \delta ds = 0$$

$$\oint \varphi(s) y \delta ds = 0$$

Stellen we voor de eenwand  $\delta$  is constant, dan is een goede benadering voor de verbindingsfunctie:

$$\varphi(s) = \frac{2A}{L} s - \int_0^s f(\xi) d\xi \quad (7.0)$$

waarin  $A$  het door de profiellijn omsloten oppervlak

$$L = \oint ds.$$

In WE-65/4 pag. 20 is deze uitdrukking afgeleid uitgaande van de algemene theorie. Hij volgt natuurlijk ook eenvoudig uit de theorie van Bredt.

De in 4 gegeven theorie zullen we van dit speciale geval opnieuw afleiden, omdat het mogelijk is <sup>in</sup> ~~met~~ de algemene theorie de juiste verwaarlozingen toe te passen.

Als enige coördinaat in de dwarsdoorsnede neemt op de booplengte  $s$ .

We veronderstellen alle spanningen gelijkmatig verdeeld over  $\delta$ .

Hypothese:

$$w = h(s) \cdot \mathcal{J}(z) \quad (\text{veel. in } s \text{ richting})$$

$$\sigma_z = \sigma_0(z) \varphi(s)$$

$$\sigma_x = \sigma_y = \tau_{xy} = \tau_{zx} = 0.$$

↳ normaalprofiellijn.

$$\mathcal{R} = \iint \left[ \sigma_0 \varphi \frac{\partial w}{\partial z} + \left[ \mathcal{J}' h + \frac{\partial w}{\partial s} \right] \tau_{zs} - \frac{\sigma_0^2 \varphi^2}{2E} - \frac{\tau_{zs}^2}{2g} \right] \delta ds dz +$$

$$- \mathcal{J}(l) M_w + \mathcal{J}(0) \int h \tau_{zs} \delta ds + \sigma_0(0) \int \varphi w(s,0) \delta ds$$

Gevarieerd kunnen worden:  $\sigma_0(z)$ ,  $\tau_{zs}$ ,  $\mathcal{J}$  en  $w$ .

$$\int \left[ \varphi \frac{\partial w}{\partial z} - \varphi^2 \frac{\sigma_0}{E} \right] \delta ds = 0 \quad (7.1)$$

$$\tau_{zs} = g \left[ \mathcal{J}' h + \frac{\partial w}{\partial s} \right] \quad (7.2)$$

$$\frac{\partial}{\partial z} \int h \tau_{zs} \delta ds = 0 \quad (7.3)$$

$$\delta \cdot \varphi \cdot \sigma_0' + \frac{\partial}{\partial s} (\delta \tau_{zs}) = 0 \quad (7.4)$$

Randcondities:

$$\int \varphi w(s,0) \delta ds = 0 \quad (7.5)$$

$$\mathcal{J}(0) = 0 \quad (7.6)$$

$$\int h \tau_{zs} \delta ds = M_w \quad \text{in } z=l \quad (7.7)$$

$$\sigma_0(l) = 0 \quad (7.8)$$

Substitueer (7.2) in (7.4) en veronderstel steeds  $\delta = \text{constant}$ :

$$\varphi \sigma_0' + g \vartheta' \frac{dh}{ds} + g \frac{\partial^2 w}{\partial s^2} = 0$$

$$\text{Sub } w = -\frac{\sigma_0'}{g} \varphi(s) + \vartheta' \chi(s)$$

$$\varphi \sigma_0' + g \vartheta' \frac{dh}{ds} - \sigma_0' \frac{d^2 \varphi}{ds^2} + g \vartheta' \frac{d^2 \chi}{ds^2} = 0$$

Hieraan is voldaan als:

$$\frac{d^2 \varphi}{ds^2} = \varphi \quad \text{en} \quad \frac{d^2 \chi}{ds^2} + \frac{dh}{ds} = 0.$$

Mit (7.0) volgt:

$$\frac{d^2 \varphi}{ds^2} = -\frac{dh}{ds} \quad \Rightarrow \quad \text{Kies } \chi = \varphi.$$

Dus:

$$w = -\frac{\sigma_0'}{g} \varphi(s) + \vartheta' \varphi(s) \quad (7.9)$$

$$\text{met } \frac{d^2 \varphi}{ds^2} = \varphi \quad (7.10)$$

Als randcondities van  $\varphi(s)$  geldt:

$$\varphi(L) = \varphi(0)$$

Mit (7.10) volgt:

$$\frac{d\varphi}{ds} = \int_{\eta=0}^s \varphi d\eta + C$$

Wanneer we deze uitdrukking met  $ds$  vermenigvuldigen en over de de hele contour integreren, vinden we:

$$\varphi(s=L) - \varphi(s=0) = \oint ds \int_{\eta=0}^s \varphi d\eta + C L = \int_{\eta=0}^s \varphi d\eta \Big|_{s=0}^L - \int_{s=0}^L s \varphi ds + C L$$

Omdat  $w(0) = w(L)$  is  $\psi(L) = \psi(0)$ .  
 Verder is  $\oint \varphi ds = 0$  vanwege de keuze van  $\varphi$   
 Er volgt dus

$$C = \frac{\oint S \varphi ds}{L}$$

$$\text{dus } \frac{d\psi}{ds} = \int_{\eta=0}^s \varphi d\eta + \frac{\oint S \varphi ds}{L}$$

Mit (7.3) en (7.7) volgt:

$$\oint h \bar{v}_{zs} \delta ds = M_w =$$

$$M_w = \gamma \mathcal{D}' \oint (h^2 + h \frac{d\psi}{ds}) \delta ds - \sigma_0' \oint h \frac{d\psi}{ds} \delta ds$$

Voor  $\oint h \frac{d\psi}{ds} \delta ds$  kunnen we schrijven:

$$\oint \frac{d\psi}{ds} \delta d\left(\int_{\eta=0}^s h d\eta\right) = \frac{d\psi}{ds} \delta \int_{\eta=0}^s h d\eta \Big|_{s=0}^{s=L} +$$

$$- \oint \left(\int_{\eta=0}^s h d\eta\right) \cdot \frac{d^2\psi}{ds^2} \delta ds = (\text{wegens 7.10}) =$$

$$\left(\frac{d\psi}{ds}\right)_{s=L} \delta \cdot 2A - \oint \varphi \left(\int_{\eta=0}^s h d\eta\right) \cdot \delta ds =$$

$$\frac{2A \oint S \varphi \delta ds}{L} + \oint \varphi^2 \delta ds - \frac{2A}{L} \oint S \varphi \delta ds = \oint \varphi^2 \delta ds.$$

Voer in:  $\oint \varphi^2 \delta ds = \mathcal{D}_\varphi$  ;  $\oint (h^2 + h \frac{d\psi}{ds}) \delta ds = \mathcal{D}_L$   
 dan geldt: (klassieke troostijfluid)

$$\underline{M_w = \gamma \mathcal{D}_L \mathcal{D}' - \mathcal{D}_\varphi \sigma_0'} \quad (7.11)$$

De tweede differentiaalvergelijking van  $\sigma_0$  en  $\vartheta$  wordt gevonden met (7.1) en (7.9).

Hiertoe stellen we nog  $\int \varphi \varphi \delta ds = B$  (in hoofdstuk 4. A)

$$\underline{-\frac{B}{q} \sigma_0'' + \gamma \varphi \vartheta'' - \frac{\gamma \varphi}{E} \sigma_0 = 0} \quad (7.12)$$

De differentiaalvergelijkingen (7.11) en (7.12) stemmen geheel overeen met vgl. (4.17) en (4.18) (pag. 11). Alleen de karakteristieke grootheden van de dwarsdoorsnede zijn toegelicht op een andere manier.

Ook de randcondities stemmen geheel overeen met die uit hoofdstuk 4.

De schuifspanningen zijn

$$\underline{\tau_{23} = q \vartheta' \left( 1 + \frac{d\varphi}{ds} \right) - \sigma_0' \frac{d\varphi}{ds}} \quad (7.13)$$

Als resultierend roterend moment van deze spanningen ontstaat vgl. (7.11).

De resultierende dwarskracht is nul.

Immies:

$$\int \tau_{23} dx = q \vartheta' \int \frac{2A}{4} dx - \sigma_0' \int \frac{d\varphi}{ds} dx$$

Nu geldt:

$$\begin{aligned} \int \frac{d\varphi}{ds} dx &= \left. x \frac{d\varphi}{ds} \right|_{s=0}^L - \int x \frac{d^2\varphi}{ds^2} ds = \\ &= 0 - \int x \varphi ds = 0. \end{aligned}$$

$$\text{en } \int \frac{2A}{4} dx = 0.$$

$$\text{Dus } \int \tau_{23} dx = 0 \quad ; \quad \text{Evenzo } \int \tau_{23} dy = 0.$$

De schuifspanningsverdeling wordt nu, als we gebruik maken van de uitdrukking voor  $\frac{d\psi}{ds}$  en van (4.19) voor  $\sigma_0$ :

$$\tau_{zs} = G \frac{2A}{L} J' - E \left[ -\frac{B J_x}{J_\varphi^2} + 1 \right] \left[ \int_0^s \varphi d\eta + \frac{\oint s \varphi ds}{L} \right] J'''$$

waarbij  $J$  moet voldoen aan:

$$G J_x J' - E \left( J_\varphi - \frac{B J_x}{J_\varphi} \right) J'' = M_w$$

$$J(0) = 0$$

$$J''(l) = 0$$

$$J'(0) = \frac{-B}{-A J_x + J_\varphi^2} \cdot \frac{M_w}{G}$$

Deze formules kunnen zeer waarschijnlijk nog in een beter hanteerbare vorm gegoten worden. In de toekomst zal dit zeker gebeuren.

We zullen ook nagaan hoe de in hoofdstuk 5 gegeven theorie voor dunwandige kokers te zien is. Het is duidelijk dat ook nu voor de differentiaalvergelijking in  $J$  te veel randvoorwaarden aan-  
wezig zijn. Eis van het sluitend maken der theorie is dat  $B = \oint \varphi \varphi ds = 0$ . Het is wellicht aan te tonen dat in de d.v. de term met  $B$  te vernemen is ten opzichte van de andere termen.

De schuifspanningsverdeling is:

$$\tau_{zs} = G \frac{2A}{L} J' - E \left[ \int_0^s \varphi d\eta + \frac{\oint s \varphi ds}{L} \right] J'''$$

In dat geval krijgen we een resultaat dat wel gaat lijken op een resultaat dat op de volgende wijze kan worden afgeleid:

$$\text{Jel } \sigma_z = E \mathcal{D}'' \varphi$$

De extra schuifspanningen, die hierbij horen volgen uit het evenwicht  $\frac{\partial \sigma_z}{\partial z} + \frac{\partial \tau^*}{\partial s} = 0$ .

$$\begin{aligned} \text{Dus } \tau^*(s) &= - \int_{\eta=0}^s \frac{\partial \sigma_z}{\partial z} d\eta + \tau^*(0) = \\ &= - E \mathcal{D}''' \int_{\eta=0}^s \varphi d\eta + \tau^*(0) \end{aligned}$$

De totale schuifspanning is de som van deze schuifspanningen en die volgens de theorie van Bredt. Dus:

$$\tau_{zs} = \mathcal{G} \frac{2A}{4} \mathcal{D}' - E \mathcal{D}''' \int_{\eta=0}^s \varphi d\eta + \tau^*(0)$$

Men is  $\tau^*(0)$  op iedere plaats  $s$  hetzelfde. Hij kan dus samengevoegd gedaan worden met de term  $\mathcal{G} \frac{2A}{4} \mathcal{D}'$ . Kies dus  $\tau^*(0) = 0$

Deze schuifspanningen hebben geen resulterende dwarskracht. Immers:

$$\oint dx \left( \int_{\eta=0}^s \varphi d\eta \right) = x \int_{\eta=0}^s \varphi d\eta \Big|_{s=0}^L - \int_0^L x \varphi ds = 0$$

De eis dat deze schuifspanningen als resultaat een moment  $M_w$  leveren, geeft de differentiaalvergelijking in  $\mathcal{D}$ .

Op deze manier is dat voldaan aan het axiale evenwicht op iedere plaats. De verplaatsing in  $x$ -richting  $w(s, z)$  is echter voor  $s=0$  en  $s=L$  ongelijk, of de verplaatsing  $v$  is niet voor  $s=0$  en  $s=L$

hetzelfde.

Tevens:

$$\tau_{zs} = \gamma \left( \frac{\partial w}{\partial s} + \frac{\partial v}{\partial z} \right) = \gamma \frac{2A \mathcal{J}'}{L} - E \mathcal{J}''' \int_{\eta=0}^s \varphi d\eta$$

Integreren:

$$\begin{aligned} \gamma \int \left( \frac{\partial w}{\partial s} + \frac{\partial v}{\partial z} \right) ds &= \gamma \cdot 2A \mathcal{J}' - E \mathcal{J}''' \int ds \left( \int_{\eta=0}^s \varphi d\eta \right) = \\ &= \gamma \cdot 2A \mathcal{J}' + E \mathcal{J}''' \int \varphi s ds = \\ &= \gamma [w(L) - w(0)] + \gamma \int \frac{\partial v}{\partial z} ds \end{aligned}$$

Wanneer om de verplaatsing langs de contourlijn gekozen wordt:

$$v = L \mathcal{J}$$

dan zou moeten gelden:

$$\gamma [w(L) - w(0)] + \gamma \mathcal{J}' \cdot 2A = \gamma \cdot 2A \mathcal{J}' + E \mathcal{J}''' \int \varphi s ds$$

Dus  $w(L) - w(0) \neq 0$ . De aansluiting is bedorven.

We kunnen ook stellen:

$$v = L \mathcal{J} + \frac{E}{\gamma} \varphi s \mathcal{J}''$$

Dan geldt:

$$\begin{aligned} \gamma [w(L) - w(0)] + \gamma \mathcal{J}' \cdot 2A + E \mathcal{J}''' \int \varphi s ds &= \\ \gamma \cdot 2A \cdot \mathcal{J}' + E \mathcal{J}''' \int \varphi s ds & \end{aligned}$$

Miss dus wel voldaan aan

$$w(L) = w(0).$$

De aansluiting in axiale richting is hiermee gegarandeerd. In dit geval is echter  $v(0) \neq v(L)$

In tangentiële richting is geen aansluiting.

Op iedere plaats is wel het axiale evenwicht gegarandeerd, maar de aansluiting is verbroken.

Bij de door ons gegeven theorie m.b.v. het

principe van Reitter is globaal voldaan aan het oniele evenwicht, maar de aansluiting is gegarandeerd.

Op de eerste plaats kan in een speciaal geval nimmer nagegaan worden hoewel verschil in toestand tussen de spanningen bekend of de verschillende manieren.

Miteindelijk zal het experiment niet moeten wijzen welke behandelingswijze de werkelijkheid het best benadert